

ピストン問題の差分解法

京大工 野木達夫

ここでは、Gun tunnel^{2),3)} の一次元モデルを考える。

(図-1) 気体の運動と状態を支配する方程式として通常の圧縮性流体の方程式を用いる。¹⁾

$$(1) \quad \begin{aligned} \rho_t + (\rho u)_x &= 0 \\ (\rho u)_t + (p + \rho u^2)_x &= 0 \\ \left\{ \rho \left(e + \frac{1}{2} u^2 \right) \right\}_t + \left\{ \rho u \left(e + \frac{1}{2} u^2 + \frac{p}{\gamma} \right) \right\}_x &= 0 \\ p = (\gamma - 1) \rho e & \end{aligned}$$

ここで ρ が密度、 u が速度、 p が圧力、 e が単位質量あたりの内部エネルギー、 γ が比熱比である。Gun tunnel の中に押入されるピストンの運動方程式は $x = \xi(t)$ をピストン径路とするとき

$$(2) \quad \frac{d^2 \xi(t)}{dt^2} = p(t, \xi(t)-0) - p(t, \xi(t)+0), \xi(0) = 0$$

で与えられる。しかもピストンのところ満すべき境界条件は

$$(3) \quad u(t, \xi = -0) = u(t, \xi(t) + 0) = \frac{d\xi(t)}{dt}$$

である。さらに右端 ($x = x_E$) における境界条件は

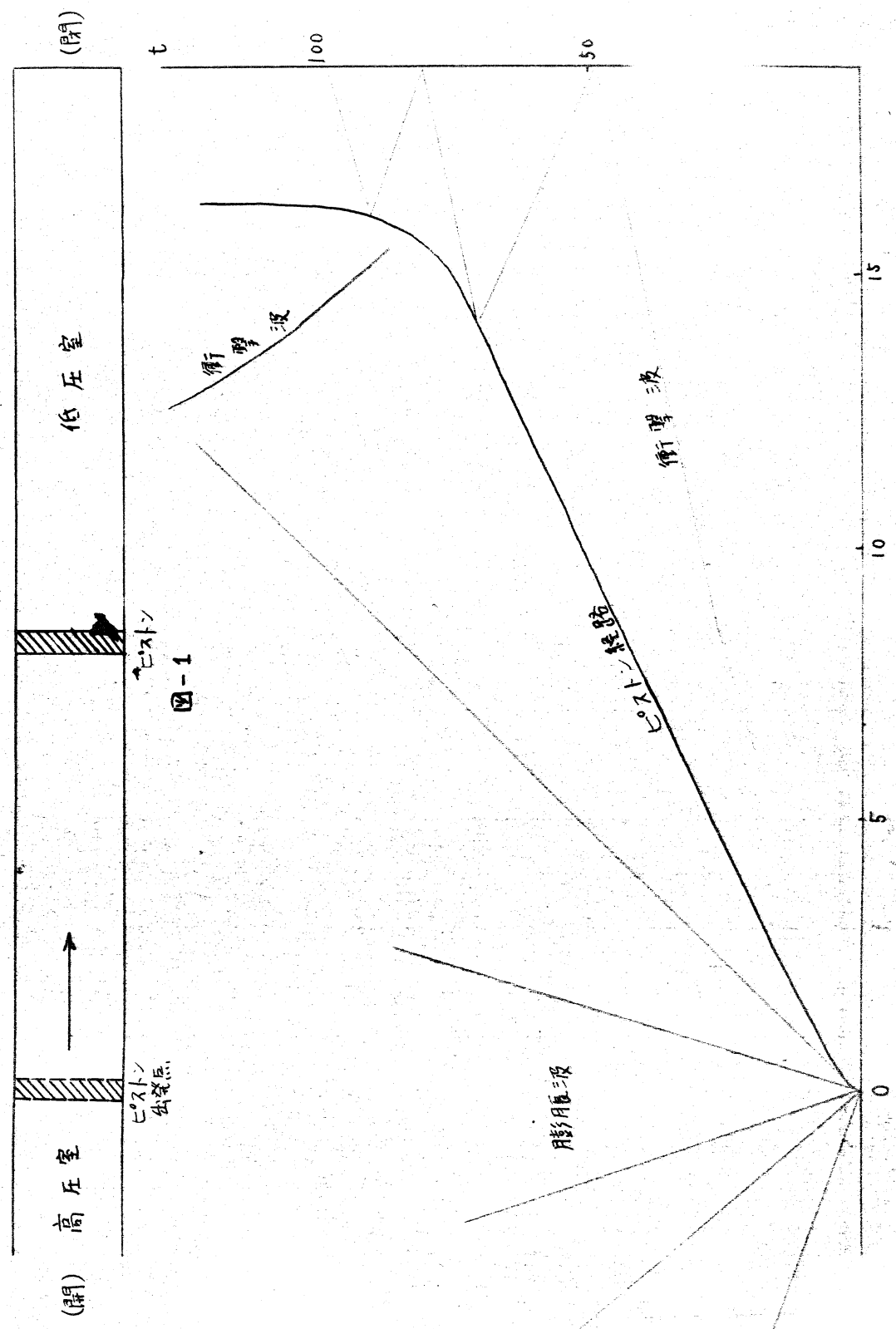
$$(4) \quad u(t, x_E) = 0.$$

初期条件としてはピストンの両側でそれそれ静止した一樣な状態を考える。

Gun tunnel の通常の稼動過程を上のモデルで扱うと、たとえのピストンの運動と波の伝搬の様子は図-2 のようになる。

この問題を差分法で解くためには、ピストンの近く、右端の壁の近く、そして内部の領域とそれを山に連するアルゴリズムを工夫する必要がある。

i) 内部領域における差分法 とくに不連続解としての衝撃波をうまくとらえる差分法が必要である。このための差分法としては大別して 2 種類ある。一つは Artificial viscosity を用いるもの、もう一つは不連続の分解によるもので代表的なものは前者では Lax-Wendroff の差分法^{5), 7)}、後者では Godunov の差分法^{4), 6), 7)}である。いつれもちぐれたものだが Riemann 問題に対する我々の実験⁷⁾では Godunov の方法の方がいくぶん良好とみたので以下では主としてこの方法を



採用することにした。この方法を簡単に説明すると、ある時刻における格子点閾数を階段閾数とみなし、跳躍点での不連続の分離を計算して次のステップにおける各格子点あたりの平均値を算出し、それによって階段閾数から、重い計算をするものである。

ii) 右端の壁の近くでのアルゴリズム、壁における波の反射の問題の差分近似法について理論研究もやったが、たゞかりて実際的な問題を解くときの依、たつべき基礎にはなりえていない。一般に双曲系の混合問題を差分近似すると余分な境界条件が必要になってしまくる。その条件のとり方がまた問題になる。その事状を簡単な例で説明しよう。流体方程式の線形近似の方程式についての混合問題

$$(5) \quad \begin{aligned} U_t &= U_x \\ U_t &= U_x \end{aligned} \quad t > 0, x > 0$$

$$U(0, x) = U(t, 0) = 0, \quad U(0, x) \text{ given}$$

に対して Godunov の差分法 ($\lambda = \Delta t / \Delta x$)

$$(6) \quad \begin{aligned} U^{j+\frac{1}{2}} &= U_{j+\frac{1}{2}} + \lambda (V_{j+1} - V_j), \quad V^{j+\frac{1}{2}} = V_{j+\frac{1}{2}} + \lambda (U_{j+1} - U_j) \\ U_j &= \frac{U_{j+\frac{1}{2}} + U_{j-\frac{1}{2}} + U_{j+\frac{1}{2}} - U_{j-\frac{1}{2}}}{2}, \quad U_j = \frac{U_{j+\frac{1}{2}} + U_{j-\frac{1}{2}} + V_{j+\frac{1}{2}} - V_{j-\frac{1}{2}}}{2} \end{aligned}$$

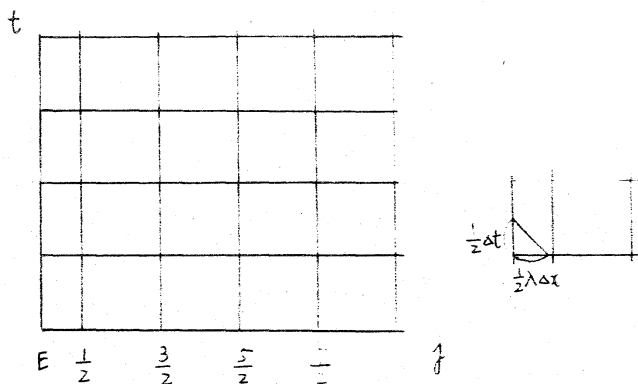


図-3

を適用する、二の差分法を用いて計算を続行するには壁のところに相当する邊 U_0, V_0 を決める必要がある。 $U_0 = 0$ は与えられた境界条件からきまるが、 V_0 をうまく指定やうなけれはならぬ。これが余分な境界条件といつたものである。普通よく用いられるのは 特性曲線を使うもので、この場合成り立つ関係式

$$(7) \quad U_0 + V_0 = \lambda (U_{\frac{1}{2}} + V_{\frac{1}{2}}) + (1-\lambda)(U_E + V_E)$$

を利用する。他の方法も 1) 3) は比較実験してみたが結局 Godunov の方法には

$$(8) \quad U_0 + V_0 = U_{\frac{1}{2}} + V_{\frac{1}{2}}$$

を用ひるのがよいという結果になつた。先の特性曲線を用いる方法の方が精度はよいかが、それはもし 3 order 2 の Accuracy と Lax-Wendroff の差分法に整合したものでは

のである。上の(8)式は波が壁にぶつかったときにできることで反射波をまたいて成り立つ関係式である。この意味でなら非線形の流体方程式にも拡張して用ひうることが可能にする。ちなみに対し壁で反射する衝撃波をまたいて成り立つ Rankine-Hugoniot の関係式から壁での状態を算出してやるものである。この方法の良さも実験によつて確かめられた。

III) ピストンの近くでのアルコリスム　これが一番に問題になるところは、ピストンの位置が網目に対して動くためそのアルコリスムは複雑なものになる。(1) (2) など方法について定量的に優劣が判定できるように線形の問題(5)について考へ、しかも一定加速度でピストンを動かすときの問題について比較を試めた。その結果、厳密解との誤差がかなり小さくなる方法が選べた。この方法を流体方程式の問題に対して拡張使用したものもやはり良好な結果を示したのでそれを紹介しよう。ピストン経路が網目に対して位置する仕方は△と△+2の2種類ある。

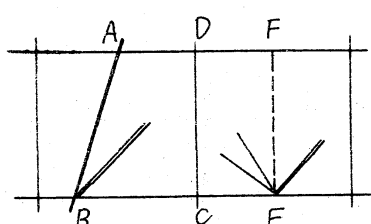


図-4a

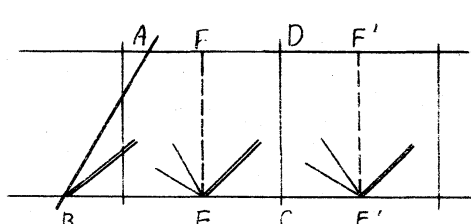


図-4b

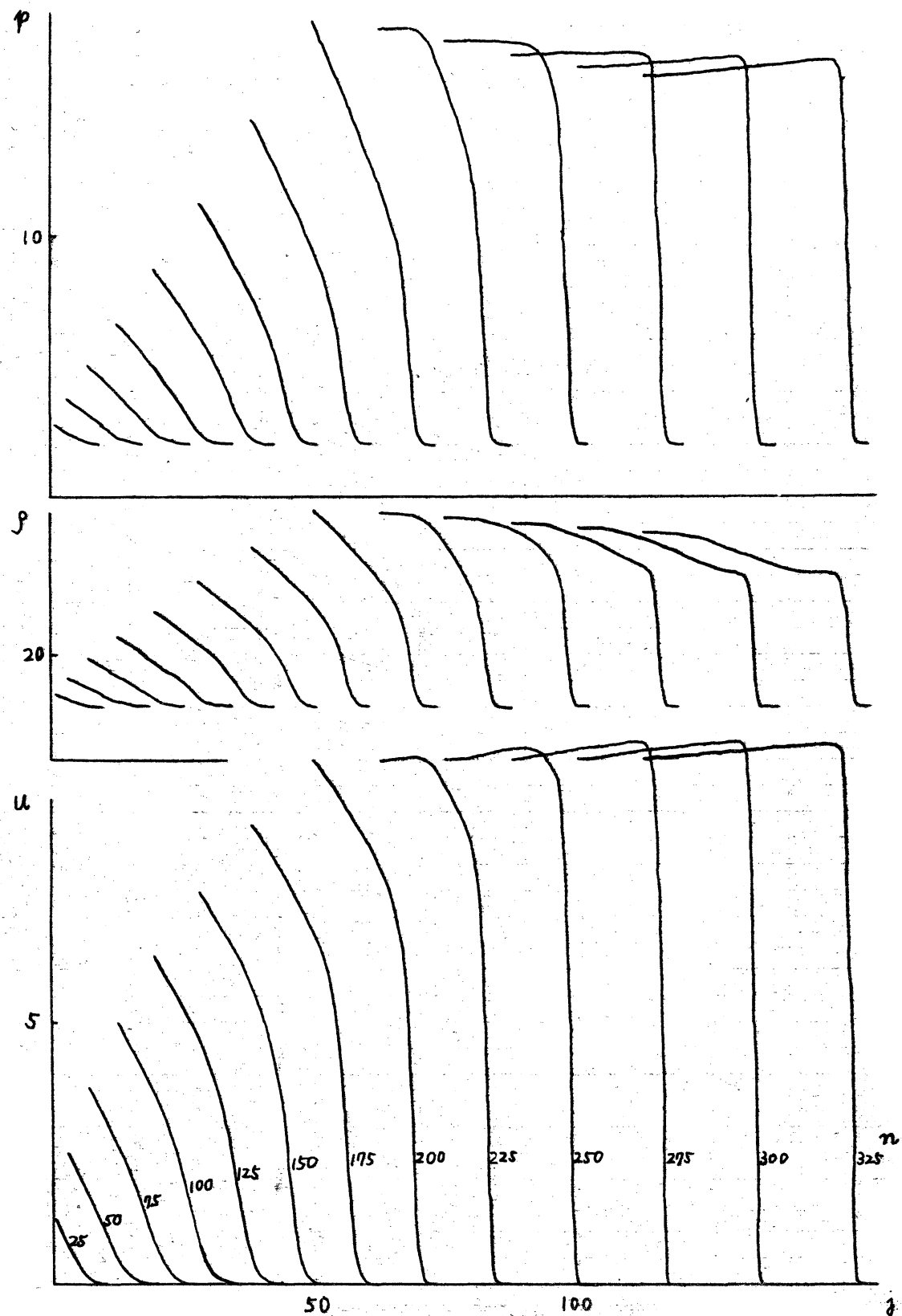
図-4a,b で B 点, C 点等の値がわかっているとき A 点 D 点等の値を求めることが問題になる。そのため微分方程式(1)の積分表式を用いる。

$$\oint p dx - \rho u dt = 0$$

$$(9) \quad \oint \rho u dx - (p + \rho u^2) dt = 0$$

$$\oint p(e + \frac{u^2}{2}) dx - \rho u(e + \frac{u^2}{2} + \frac{p}{\rho}) dt = 0$$

いま図-4aで積分路をAFEB とするとすれば AF 上の積分値(従って平均値)が AB, EF, BE 上の積分値から決定される。だから AB 上の平均値, EF 上の平均値を決定する必要がある。AB 上の平均値を求めるため, BE 間ではその平均値が一定に保たれ, ピストンが AB 間では一定速度で走るとすれば点 B から発生する衝撃波をまたじて成り立つ Rankine-Hugoniot の関係式を利用してピストンの前面の状態が決定される。EF 上の値は BE 間の値と E 点より右の値との間の不連続の分解を解いて決まる。AF 上の平均値の求めると D 点等の値が決まる。図-4bの場合には D 点等の値を求めるには内部の点の取り扱い方をする。すなはち E 点, E' 点等の不連続の分解から FF' 上の平均値を計算するものである。以上の方針によ、2 ピストンを一定加速度(途中から一定速度)で押しこんだ場合の計算例を図-5 に示す。

図-5 (n は繰り返し回数)

次に本題であるところのピストンの運動が両方の状態から運動方程式によつて決まる場合について考える。上にみたようにピストンが加速されつゝとその速度がわかつてピストンの前面の状態がわかつた。そのとき後面には膨脹波が発生し波をよきつゝ成りたつ関係式からピストンの後面の状態も決定される。逆にピストン前面の圧力と後面の圧力がわかつてピストンの運動方程式からAB上のピストン速度の平均値が決まる。逆にAB上のピストン速度の平均値からAB上のピストン速度が決まる。

$$(10) \quad U_A = U_B + \Delta t (P_b - P_f), \quad \bar{U}_{AB} = \frac{U_A + U_B}{2}$$

ここで U_A, U_B は A 点, B 点でのピストン速度, \bar{U}_{AB} は AB 上の速度の平均値, P_b と P_f はピストンの後面と前面の圧力の平均値である。これらのことから \bar{U}_{AB} と P_b, P_f を決めるのに逐次計算を繰り返し収束させねばよいことわかる。こうしてピストンでの状態が決まるとピストンに直接した格子点での値の決定には積分表式(9)を用ひればよい。

前方につづつは前にみた通りにやればよく後方につづつも同様な考慮をすればよい。ピストンが減速されるときには前方に膨脹波が発生し、後方に衝撃波が発生すると考えればよい。この方法によつて計算した結果を図-2(ピストン軌跡), 図-6(圧力の変化)に示す。

初期条件

$$P(0, \chi) = \begin{cases} 23.57 \\ 1.0 \end{cases}$$

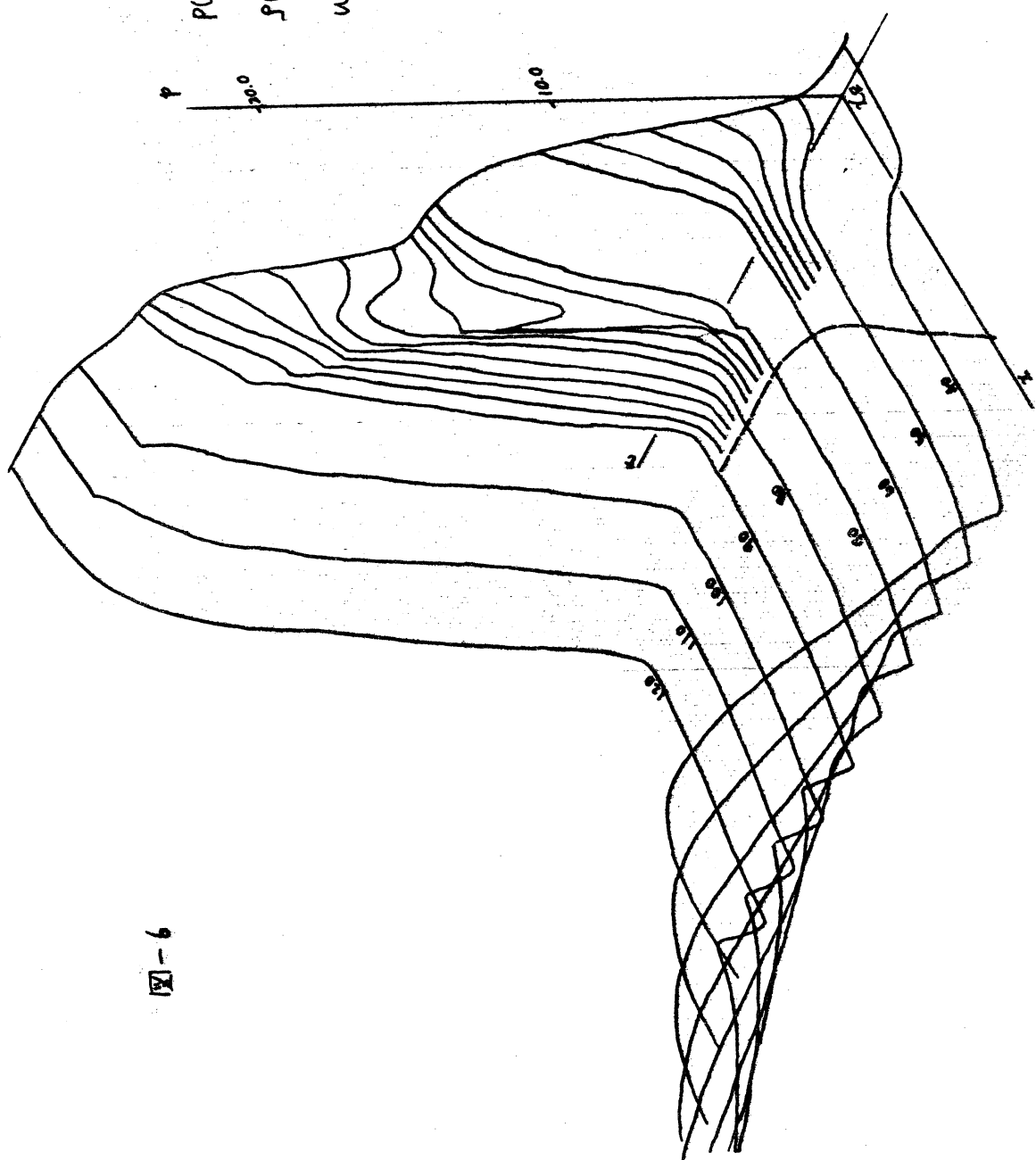
$$g(0, \chi) = \begin{cases} 33.0 \\ 1.4 \end{cases}$$

$$u(0, \chi) = 0.0$$

$$x_E = 1.8.8$$

$$\Delta x = 0.094$$

$$\lambda = 0.2$$



この報告では、アルゴリズムと数値実験の結果を示した。ここにあげた方法の良さと、その裏付けの理論的裏付けはつきりしない。ただし保証といえは、より簡単な線形問題に対する準備の上にたつていることである。この種の非線形問題の数値計算について現在理論的に何もかも保証できるといつ段階ではない。しかししながらますます非線形偏微分方程式を解くことの必要性は増大してきている。それに応えるべき解法の研究ではここに報告したようなスタイルをとらざるを得ない。すなはち複雑な問題を分割することにより幾つかの単純な問題に分け、そして基礎実験を積み重ねること、それからできないうときには線形化問題に立ちもどって工具としてみるとよいのである。これらの単純な実験から数値現象を細く観測することにより、欠点の原因を見出し改良を繰り返していく。このような技術的側面の強化研究を続ける中で理論的発展の端緒を見出していく必要がある。

つい繰り返すことにすこか、計算機が今後あらゆる分野の数値計算に有効に働きうることを願うなら、数値実験自身を科学的に行う方法を確立することが必須である。それが又数値解析の理論的発展をえていくものと確信する。

参考文献

- 1) Courant, R. and Friedrichs, K. O., *Supersonic flow and shock waves*, Interscience Publishers, Inc, 1948.
- 2) Stalker, R. J. *A Study of the Free-Piston shock tunnel* AIAA Journal, Vol.5, No.12 1967
- 3) Kimura, T. *Studies on Hypersonic Wind Tunnel* Ph.D. Thesis 1967
- 4) Родунов, С. К., Разностный метод численного расчета разрывных решений уравнений гидродинамики, Mat. Сбор. Т. 47 (89), №.3, 1959
- 5) Lax, P. D. and Wendroff, B. Systems of conservation laws. Comm. Pure Appl. Math., vol 13, 1960.
- 6) Родунов, С. К., Завгородин, А. В. and Прокопов, Г. П., Разностная схема для одномерных нестационарных задач разовой динамики и расчет обтекания с отошедшей ударной волной, Вып. мат. и мат. физ., Т. 1, №. 6, 1964.
- 7) 野木達夫, 一次元の流体方程式に対する差分法, 教理解研究所講究録 32, 1967.10.